

УДК 532.517.2

УСТОЙЧИВОСТЬ АДВЕКТИВНОГО ТЕЧЕНИЯ ВО ВРАЩАЮЩЕМСЯ ГОРИЗОНТАЛЬНОМ ТЕПЛОИЗОЛИРОВАННОМ СНИЗУ СЛОЕ НЕСЖИМАЕМОЙ ЖИДКОСТИ С ТВЕРДЫМИ ГРАНИЦАМИ ПРИ МАЛОМ ЧИСЛЕ ПРАНДТЛЯ

© 2022 г. К. Г. Шварц

Пермский государственный национальный исследовательский университет, Пермь, Россия

E-mail: kosch@psu.ru

Поступила в редакцию 29.06.2021 г.

После доработки 15.09.2021 г.

Принята к публикации 21.09.2021 г.

Исследуется устойчивость адвективного течения в плоском вращающемся горизонтальном слое несжимаемой жидкости с твердыми границами. На верхней границе слоя задано линейное распределение температуры, нижняя граница теплоизолированная. Адвективное течение, возникшее за счет горизонтальной конвекции, описывается аналитически в виде нового точного решения уравнений Навье–Стокса в приближении Буссинеска. При малом значении числа Прандтля в рамках линейной теории исследуется устойчивость адвективного течения на нормальные возмущения для широкого диапазона числа Тейлора. Определяются наиболее опасные моды, строятся нейтральные кривые. В рамках нелинейной постановки задачи изучается влияние вращения на структуру конечно-амплитудных возмущений в надкритической области вблизи минимумов нейтральных кривых.

Ключевые слова: горизонтальная конвекция, адвективные течения, точное решение, нормальные возмущения, устойчивость, конечно-амплитудные возмущения

DOI: 10.31857/S0568528122020086

Под воздействием продольного градиента температуры в горизонтальном слое жидкости возникает адвективное течение [1]. Его специфика состоит в отсутствии вертикальной компоненты скорости, вектор скорости в потоке ориентирован перпендикулярно силе плавучести, которая является основной причиной движения. В случае, когда температура на одной или обеих горизонтальных границах слоя является линейной функцией ($T = Ax$, где x – продольная координата, A – постоянный горизонтальный температурный градиент на границах слоя), течение описывается аналитическим выражением, которое является точным решением уравнений Навье–Стокса [2, 3]. При наличии твердых границ, на которых задано условие прилипания, возникает течение Остроумова–Бириха [4]. Устойчивость такого течения исследована в [5], в частности, при малых числах Прандтля неустойчивость обусловлена гидродинамическим механизмом (неподвижные вихри на границе встречных потоков). Обзор устойчивости других подобных течений представлен в [6].

Адвективное течение в горизонтальном слое жидкости с теплоизолированной нижней границей описано аналитически в [7]. В этом случае кубический профиль скорости остается неизменным, а в профиле температуры отсутствуют зоны потенциально неустойчивой стратификации, тем самым исключаются моды неустойчивости рэлеевской природы. Линейный анализ устойчивости, проведенный в [7], показал, что опасные гидродинамические моды возникают при малых числах Прандтля (Pr) от 0.015 до 0.27.

В монографии [8] представлено точное решение уравнений Навье–Стокса в приближении Буссинеска, описывающее адвективное течение, возникающее во вращающемся горизонтальном слое жидкости с твердыми границами и линейной температурой на обеих границах слоя. Имеются две горизонтальные компоненты скорости, профили которых являются антисимметричными относительно вертикальной оси z . Они описывают движение жидкости типа спирали Экмана, поле же температуры описывает два тепловых потока, двигающихся вдоль слоя.

С ростом числа Тейлора (Ta) вблизи твердых границ образуются пограничные слои скорости и температуры, в которых градиент давления балансируется с силами вязкости и силами Кориолиса.

Устойчивость такого течения изучена в работе [9] для большого диапазона Ta . Было показано, что при малых значениях Pr с ростом числа Тейлора наиболее опасные моды неустойчивости меняются. При малых значениях Ta в слое с твердыми границами снижается устойчивость адвективного течения, а затем, начиная с некоторого порогового значения, стабилизирует его. Этот же факт был зафиксирован в горизонтальном слое жидкости со свободной верхней границей при исследовании устойчивости адвективного течения [10], а также при численных расчетах во вращающихся круглых кюветах [11–14].

В данной работе исследуется устойчивость адвективного течения во вращающемся горизонтальном слое жидкости с твердыми границами при теплоизолированной нижней границе.

1. АДВЕКТИВНОЕ ТЕЧЕНИЕ

Рассмотрим бесконечный горизонтальный слой несжимаемой жидкости шириной $2h$ с твердыми границами, вращающийся с постоянной угловой скоростью $\Omega = \Omega_0 \mathbf{i}_z$, где \mathbf{i}_z – орт-вектор вертикальной оси z . Направление оси вращения совпадает с вертикальной осью координат Oz . На обеих границах задано условие прилипания, поток замкнутый, на верхней границе приложен постоянный горизонтальный градиент температуры T , нижняя граница теплоизолированная. Движение жидкости описывается уравнениями конвекции в приближении Буссинеска [15] в декартовой системе координат $Oxyz$ (z – вертикальная координата, x, y – горизонтальные координаты). Выбрав в качестве единиц измерения длины, времени, скорости, температуры и давления $h, h^2/\nu, g\beta Ah^3/\nu, Ah, \rho_0 g\beta Ah^3$ (где ν – кинематическая вязкость, β – коэффициент теплового расширения, g – ускорение свободного падения, ρ_0 – средняя плотность), получим исходные уравнения в безразмерном виде

$$\begin{aligned} \frac{\partial v_x}{\partial t} + Gr \left(v_x \frac{\partial v_x}{\partial x} + v_y \frac{\partial v_x}{\partial y} + v_z \frac{\partial v_x}{\partial z} \right) - \sqrt{Ta} \cdot v_y &= -\frac{\partial p}{\partial x} + \Delta v_x \\ \frac{\partial v_y}{\partial t} + Gr \left(v_x \frac{\partial v_y}{\partial x} + v_y \frac{\partial v_y}{\partial y} + v_z \frac{\partial v_y}{\partial z} \right) + \sqrt{Ta} \cdot v_x &= -\frac{\partial p}{\partial y} + \Delta v_y \\ \frac{\partial v_z}{\partial t} + Gr \left(v_x \frac{\partial v_z}{\partial x} + v_y \frac{\partial v_z}{\partial y} + v_z \frac{\partial v_z}{\partial z} \right) &= -\frac{\partial p}{\partial z} + \Delta v_z + T \\ \frac{\partial v_x}{\partial x} + \frac{\partial v_y}{\partial y} + \frac{\partial v_z}{\partial z} &= 0 \\ \frac{\partial T}{\partial t} + Gr \left(v_x \frac{\partial T}{\partial x} + v_y \frac{\partial T}{\partial y} + v_z \frac{\partial T}{\partial z} \right) &= \frac{1}{Pr} \Delta T \end{aligned} \quad (1.1)$$

где $\mathbf{v}(x, y, z, t) = (v_x, v_y, v_z)$ – вектор скорости, p – конвективная добавка к гидростатическому давлению, соответствующему средним значениям температуры и плотности [1, 16], $Gr = g\beta Ah^4/\nu^2$ – число Грасгофа, $Ta = (2\Omega_0 h^2/\nu)^2$ – число Тейлора, $Pr = \nu/\chi$ – число Прандтля, χ – коэффициент температуропроводности, оператор Лапласа $\Delta = \partial^2/\partial x^2 + \partial^2/\partial y^2 + \partial^2/\partial z^2$. Граничные условия в безразмерном виде имеют вид:

$$\begin{aligned} z = -1: \quad \frac{\partial T}{\partial z} = 0, \quad \mathbf{v} = 0; \quad z = 1: \quad T = x, \quad \mathbf{v} = 0 \\ \int_{-1}^1 v_x dz = 0, \quad \int_{-1}^1 v_y dz = 0 \end{aligned} \quad (1.2)$$

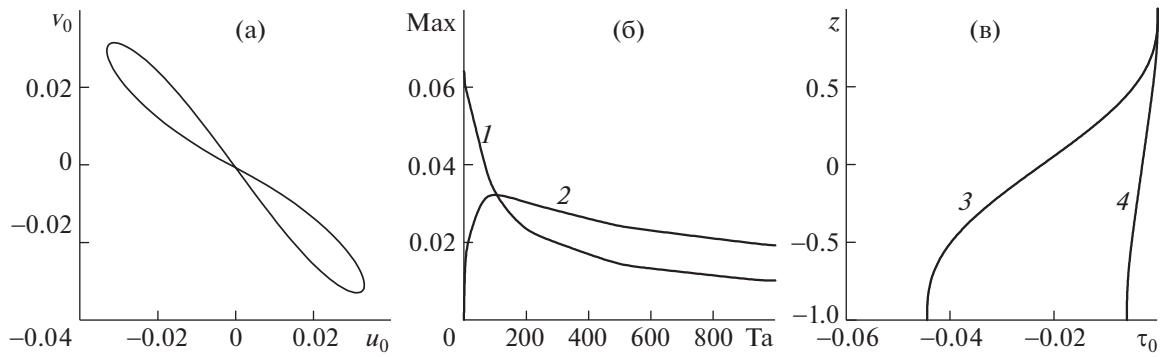


Рис. 1. Годограф вектора скорости при $Ta = 100$ (а), зависимость максимумов компонент скорости $u_0(z)$ и $v_0(z)$ от числа Тейлора: 1 – $\max u_0$, 2 – $\max v_0$ (б), графики $\tau_0(z)$ при $Ta = 0.1$ (3) и $Ta = 10^3$ (4) (в).

Краевая задача (1.1), (1.2) имеет аналитическое решение [8]:

$$\begin{aligned}
 u_0(z) &= \frac{1}{\sqrt{Ta}} \operatorname{Im} f_1(z), & v_0(z) &= \frac{1}{\sqrt{Ta}} (z - \operatorname{Re} f_1(z)), & w_0(z) &\equiv 0 \\
 T_0 &= x + GrPr\tau_0(z), & \tau_0(z) &= \frac{1}{\sqrt{Ta}} [v_0(z) - v_0'(-1)(z-1)] \\
 f_1(z) &= \frac{\operatorname{sh}(\mu z)}{\operatorname{sh}(\mu)}, & \mu &= \sqrt[4]{\frac{Ta}{4}}(1+i), & i &= \sqrt{-1}
 \end{aligned} \tag{1.3}$$

где $u_0(z)$, $v_0(z)$ и $w_0(z)$ – компоненты вектора скорости, Re – действительная часть комплексного значения, Im – мнимая часть комплексного значения, T_0 – температура.

Профили компонент скорости $u_0(z)$, $v_0(z)$ во вращающемся слое являются антисимметричными относительно оси z . Они описывают движение спирального типа, что иллюстрирует годограф вектора скорости на рис. 1а. На рис. 1б представлен график зависимости максимумов горизонтальных компонент скорости от числа Тейлора. Максимум первой компоненты скорости $u_0(z)$ монотонно убывает с увеличением числа Тейлора пропорционально $1/\sqrt{Ta}$. При отсутствии вращения $v_0(z) \equiv 0$, вторая компонента скорости возникает при наличии вращения, когда $Ta > 0$. Ее максимум начинает возрастать в диапазоне $0 \leq Ta \leq 98.4$, оставаясь при этом меньше максимума первой компоненты скорости u_0 . Таким образом, под действием силы Кориолиса течение Остроумова-Бириха [2–4] начинает перестраиваться. При $Ta > 98.4$ максимум первой и максимум второй горизонтальной компоненты скорости выравниваются и теперь они оба монотонно убывают по корневому закону. На рис. 1в представлены графики $\tau_0(z)$ при $Ta = 0.1$ и $Ta = 10^3$. Профили температуры не обладают симметрией. С ростом числа Тейлора максимум $\tau_0(z)$ по модулю монотонно убывает.

2. ЛИНЕЙНАЯ ТЕОРИЯ

Для исследования устойчивости адвективного течения (1.3) применим метод малых возмущений [5]

$$\mathbf{v} = \mathbf{v}_0 + \mathbf{V}, \quad \mathbf{v}_0 = (u_0, v_0, 0), \quad \mathbf{V} = (U, V, W), \quad T = T_0 + \theta, \quad P = p_0 + P' \tag{2.1}$$

Здесь \mathbf{V} , θ , P' – малые возмущения. Подставив возмущенные поля скорости, температуры и давления (2.1) в исходную систему (1.1) и граничные условия (1.2), получим следующую задачу:

$$\begin{aligned}
 \frac{\partial \mathbf{V}}{\partial t} + Gr[(\mathbf{V}\nabla)\mathbf{V} + (\mathbf{V}\nabla)\mathbf{v}_0 + (\mathbf{v}_0\nabla)\mathbf{V}] + \sqrt{Ta}(\mathbf{i}_z \times \mathbf{V}) &= -P' + \Delta\mathbf{V} + \theta\mathbf{i}_z, \\
 \mathbf{i}_z &= (0, 0, 1) \quad \operatorname{div}\mathbf{V} = 0
 \end{aligned} \tag{2.2}$$

$$\frac{\partial \theta}{\partial t} + Gr [\mathbf{V} \nabla \theta + \mathbf{V} \nabla T_0 + \mathbf{v}_0 \nabla \theta] = \frac{1}{Pr} \Delta \theta \quad (2.3)$$

$$z = -1: U = V = W = 0, \quad \frac{\partial \theta}{\partial z} = 0$$

$$z = 1: U = V = W = 0, \quad \theta = 0 \quad (2.4)$$

В рамках линейной теории устойчивости в уравнениях (2.2)–(2.4) пренебрегаем малыми квадратичными по возмущениям \mathbf{V} и θ слагаемыми. Полученная система линейных уравнений имеет решения в виде нормальных возмущений, пропорциональных $\exp(\lambda t + k_x x + k_y y)$, где $\lambda = \lambda_1 + i\lambda_2$, – декремент, определяющий временной ход возмущений. Вещественные коэффициенты k_x и k_y – это компоненты волнового вектора вдоль осей Ox и Oy . Следуя [1, 5], будем изучать два предельных случая. Это пространственные винтовые периодические возмущения в виде валов с осью, параллельной оси Ox , которые при отсутствии вращения превращаются в плоские, и пространственные спиральные периодические по y возмущения в виде валов с осью, перпендикулярной к оси Ox при $Pr = 0.1$. Числа Тейлора рассматриваются в диапазоне от 0 до 10^5 .

Случай винтовых возмущений. Уравнения возмущений выводятся из линеаризованной системы (2.2)–(2.4) в предположении, что производная по y от всех функций равна нулю ($k_y = 0$). Имеются все три компоненты вектора возмущения скорости и возмущение температуры, которые являются функциями времени t и двух пространственных координат x и z . Учитывая, что дивергенция возмущений скорости равна нулю, введем функцию тока возмущений $\psi(t, x, z)$ и вихря возмущения скорости $\phi(t, x, z)$

$$U = -\frac{\partial \psi}{\partial z}, \quad W = \frac{\partial \psi}{\partial x}, \quad \phi = \frac{\partial U}{\partial z} - \frac{\partial W}{\partial x} = -\Delta \psi, \quad \Delta = \frac{\partial^2}{\partial x^2} + \frac{\partial^2}{\partial z^2}$$

Рассмотрим нормальные возмущения вида

$$\phi = [\phi_1(t, z) + i\phi_2(t, z)] \exp(ik_x x), \quad \psi = [\psi_1(t, z) + i\psi_2(t, z)] \exp(ik_x x)$$

$$V = [v_1(t, z) + iv_2(t, z)] \exp(ik_x x), \quad \vartheta = [\vartheta_1(t, z) + i\vartheta_2(t, z)] \exp(ik_x x)$$

В результате задача сведется к решению системы линейных уравнений в частных производных по времени t и переменной z , описанной в [8], с граничными условиями

$$z = -1: \psi_\alpha = \frac{\partial \psi_\alpha}{\partial z} = v_\alpha = \frac{\partial \vartheta_\alpha}{\partial z} = 0, \quad (\alpha = 1, 2) \quad (2.5)$$

$$z = 1: \psi_\alpha = \frac{\partial \psi_\alpha}{\partial z} = v_\alpha = \vartheta_\alpha = 0, \quad (\alpha = 1, 2) \quad (2.6)$$

В качестве начальных возмущений функции тока, второй компоненты скорости и аддитивной компоненты поля температуры берем функцию $\sin^2(\pi z)$, удовлетворяющую граничным условиям (2.5), (2.6).

Полученная начально-краевая задача решается по численной методике, описанной в [8]. При построении нейтральной кривой, описывающей зависимость критического числа Грасгофа от волнового числа, для каждого выбранного значения k_x требуется найти такое число Грасгофа, при котором действительная часть декремента возмущений $\lambda = \lambda_1 + i\lambda_2$ равна нулю. Иными словами, решается задача о поиске корня $\lambda_1 = 0$ для неявной функции $\lambda_1(k_x, Gr, Ta)$. Эта функция строится дискретно по точкам с помощью многократного решения эволюционной задачи методом сеток. Для нахождения действительной части декремента возмущений λ_1 прослеживалась эволюция во времени максимумов по модулю неизвестных. В силу линейности задачи устойчивости в качестве аппроксимации зависимости амплитуд по времени использовалась экспоненциальная формула $C \exp(\lambda_1 t)$. Неизвестные λ_1 и C определяются методом наименьших квадратов [17] по ходу вычислений уравнений системы методом сеток. Нулевое значение декремента возмущений уточняется методом половинного деления [17]. Характер поведения возмущений от времени существенно зависит от всех параметров задачи; в области неустойчивости все возмущения нарастают, а в области устойчивости затухают.

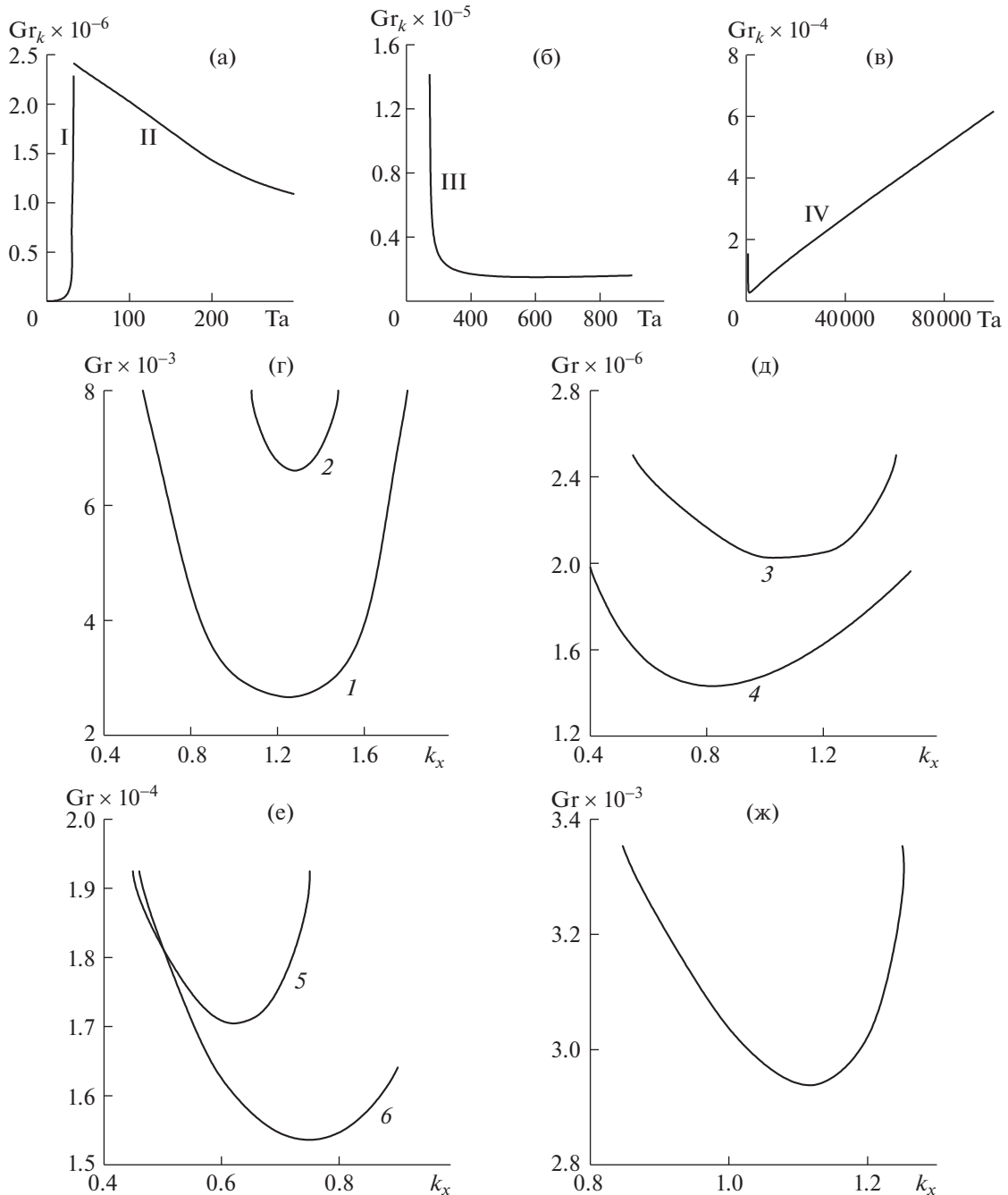


Рис. 2. Зависимость критического числа Грасгофа (Gr_k) от числа Тейлора (Ta) для первой (I), второй (II) (а), третьей (III) (б) и четвертой (IV) моды неустойчивости (в) на винтовые возмущения; нейтральные кривые зависимости числа Грасгофа от волнового числа k_x при (г) – $Ta = 1, 10$ (1–2); (д) – $Ta = 100, 200$ (3–4); (е) – $Ta = 400, 500$ (5–6) и (ж) – $Ta = 1000$.

Расчеты показали, что в рассмотренном диапазоне чисел Тейлора сохраняется колебательный характер неустойчивости. С ростом Ta наблюдались четыре наиболее опасные моды (рис. 2а,б,в), сменяющие друг друга. Мода I (рис. 2а) при отсутствии вращения ($Ta = 0$) описана в [7]. При $Ta \neq 0$ она наиболее опасна в интервале $0 < Ta < 33$. В указанном диапазоне числа Тейлора адвективное течение резко стабилизируется. С ростом Ta возрастает критическое число Грасгофа (Gr_k), волновое число k_x растет от 1.26 до 1.56. Отметим, что, как и в [7], инкремент воз-

мущений $\lambda_2 > 8$ и он становится больше с увеличением числа Тейлора. На рис. 2г представлены характерные для данной моды нейтральные кривые при $Ta = 1$ и $Ta = 10$. При меньшем значении числа Тейлора критическое число Грасгофа становится меньше, также как и волновое число.

Вторая мода (рис. 2а) развивается в интервале $32.6 \leq Ta < 270$. С ростом числа Тейлора волновое число k_x уменьшается от 1.27 до 0.82, адвективное течение становится менее устойчивым, так как критическое число Грасгофа уменьшается от 2411836.9 до 1224076.9. На рис. 2д представлены нейтральные кривые при $Ta = 100$ и $Ta = 200$. При меньшем значении числа Тейлора критическое число Грасгофа, также как и волновое число, больше.

Третья мода (рис. 2б) является наиболее опасной при $270 \leq Ta \leq 715$. С ростом числа Тейлора волновое число k_x увеличивается от 0.07 до 0.91, критическое число Грасгофа уменьшается от 138434.5 до 15270.3, таким образом, здесь течение дестабилизируется. На рис. 2е представлены нейтральные кривые при $Ta = 400$ и $Ta = 500$. С ростом значений числа Тейлора убывает критическое число Грасгофа, волновое число увеличивается.

Четвертая мода (рис. 2в) находится в интервале $715 < Ta \leq 10^5$. С ростом числа Тейлора волновое число k_x увеличивается от 0.27 до 8.2, Gr_k уменьшается до 2715.2 при $Ta = 1300$, это значение является минимальным на всем интервале от 0 до 10^5 . При $Ta > 1300$ критическое число Грасгофа монотонно возрастает с ростом числа Тейлора до 61646.2 при $Ta = 10^5$. На рис. 2ж представлена нейтральная кривая при $Ta = 1000$.

Случай спиральных возмущений. Уравнения спиральных возмущений выводятся из системы (2.2)–(2.4) в предположении, что производные в ней по x от всех функций равны нулю ($k_x = 0$). Имеются три компоненты вектора возмущения скорости, а также возмущения температуры, которые являются функциями времени t и двух пространственных переменных y, z . Аналогично предыдущему случаю введем функцию тока возмущений $\psi(t, y, z)$ и вихря возмущения скорости $\phi(t, y, z)$:

$$V = -\frac{\partial \psi}{\partial z}, \quad W = \frac{\partial \psi}{\partial y}, \quad \phi = \frac{\partial V}{\partial z} - \frac{\partial W}{\partial y} = -\Delta \psi, \quad \Delta = \frac{\partial^2}{\partial y^2} + \frac{\partial^2}{\partial z^2}$$

Рассмотрим нормальные возмущения вида:

$$\phi = [\phi_1(t, z) + i\phi_2(t, z)] \exp(ik_y y), \quad \psi = [\psi_1(t, z) + i\psi_2(t, z)] \exp(ik_y y)$$

$$U = [u_1(t, z) + iu_2(t, z)] \exp(ik_y y), \quad \theta = [\theta_1(t, z) + i\theta_2(t, z)] \exp(ik_y y)$$

В результате задача сведется к решению системы линейных уравнений в частных производных по времени t и переменной z [8] с граничными условиями:

$$z = -1: \quad \psi_\alpha = \frac{\partial \psi_\alpha}{\partial z} = u_\alpha = \frac{\partial \theta_\alpha}{\partial z} = 0, \quad (\alpha = 1, 2) \quad (2.7)$$

$$z = 1: \quad \psi_\alpha = \frac{\partial \psi_\alpha}{\partial z} = u_\alpha = \theta_\alpha = 0, \quad (\alpha = 1, 2) \quad (2.8)$$

Полученная начально-краевая задача решается по вычислительной схеме аналогично случаю винтовых возмущений. В качестве начальных возмущений для неизвестных возьмем снова функцию $\sin^2(\pi z)$, удовлетворяющую граничным условиям (2.7), (2.8).

Расчеты показали, что в рассмотренном диапазоне чисел Тейлора сохраняется колебательный характер неустойчивости. С ростом Ta наблюдались две наиболее опасные моды (рис. 3а,б), сменяющие друг друга. Мода I (рис. 3а) наиболее опасна на интервале $0 < Ta < 95$. При $0 < Ta \leq 10$ критическое число Грасгофа уменьшается до 1163.9 с увеличением числа Тейлора, тем самым делая адвективное течение менее устойчивым во вращающемся слое жидкости, $Gr_k = 1163.9$ является минимальным для всех чисел Тейлора на всем рассматриваемом интервале от 0 до 10^5 . При $10 < Ta < 95$ критическое число Грасгофа растет с увеличением числа Тейлора и достигает значения 11931.3 при $Ta = 93$. Волновое число k_y монотонно возрастает с ростом числа Тейлора от 0.34 до 0.64 при $0 < Ta \leq 20$, а затем убывает от 0.64 до 0.2 при $20 \leq Ta \leq 93$. На рис. 3в представлены характерные нейтральные кривые при $Ta = 10$ и $Ta = 30$.

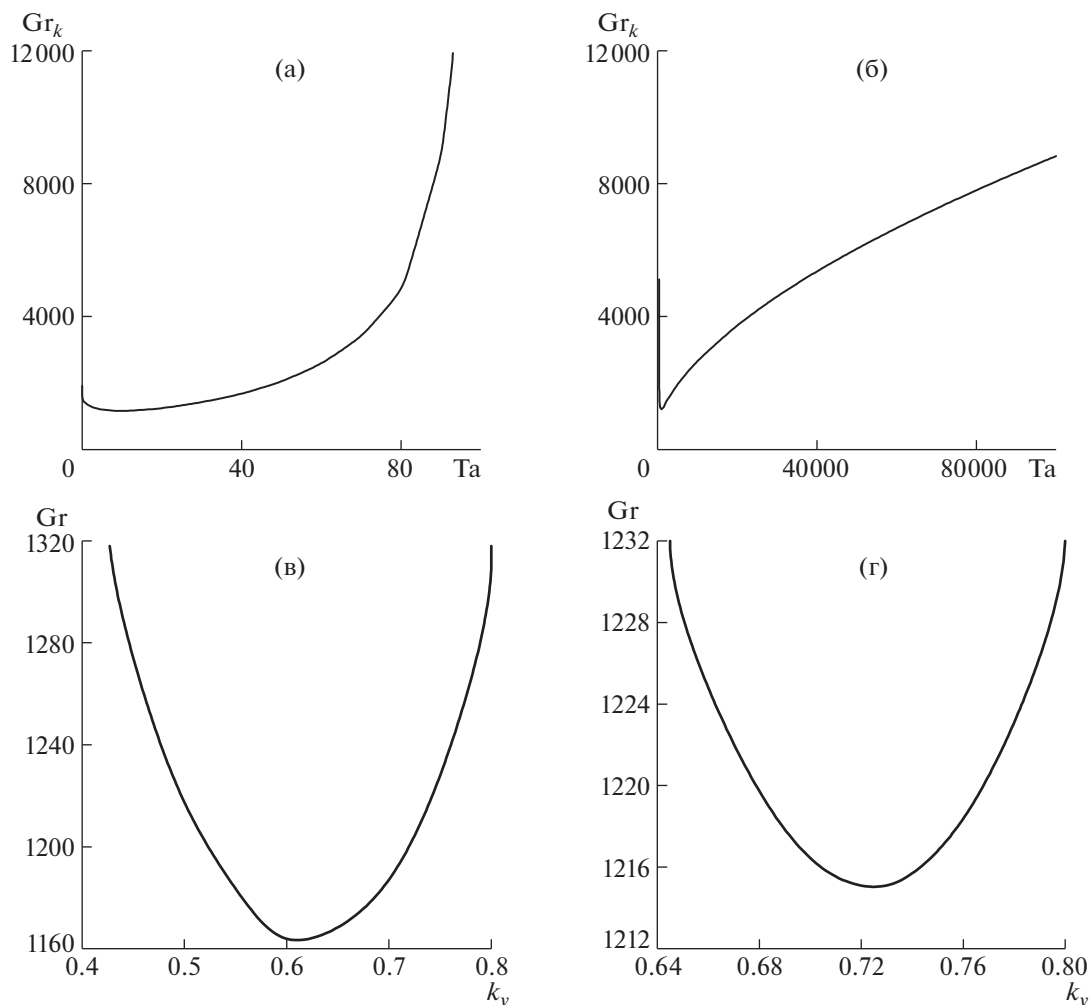


Рис. 3. Зависимость критического числа Грасгофа (Gr_k) от числа Тейлора (Ta) для первой (а) и второй моды неустойчивости (б) на спиральные возмущения; нейтральные кривые зависимости числа Грасгофа от волнового числа k_y : $Ta = 10$ (а), 30 (б), 1000 (в), 2000 (г).

При $93 < Ta < 400$ адвективное течение устойчиво на спиральные возмущения при любых значениях числа Грасгофа.

Вторая мода (рис. 3б) находится в интервале $400 \leq Ta \leq 10^5$. При $400 \leq Ta \leq 923$ критическое число Грасгофа уменьшается от 5126.6 до 1202.4 с увеличением числа Тейлора. Происходит дестабилизация адвективного течения на данном интервале, $Gr_k = 1202.4$ является локальным минимумом на рассматриваемом интервале. При $923 < Ta < 10^5$ критическое число Грасгофа растет с увеличением числа Тейлора и достигает значения 8833.6 при максимальном значении числа Тейлора. Большое число Тейлора можно связать с большой угловой скоростью вращения при фиксированной вязкости жидкости и фиксированной толщине слоя. Тогда справедливо утверждение, что быстрое вращение стабилизирует течение. Волновое число k_y монотонно возрастает с ростом числа Тейлора от 0.7 до 1.67. В качестве примера на рис. 3г представлены нейтральные кривые при $Ta = 1000$ и $Ta = 2000$.

3. КОНЕЧНО-АМПЛИТУДНЫЕ ВОЗМУЩЕНИЯ

Поведение возмущений конечной амплитуды в надкритической области исследуется на основе нелинейной системы уравнений (2.2)–(2.4).

Случай винтовых возмущений. Для винтовых периодических по x возмущений система имеет вид

$$\frac{\partial \phi}{\partial t} + Gr \left[-\frac{\partial \psi}{\partial z} \frac{\partial \phi}{\partial x} + \frac{\partial \psi}{\partial x} \frac{\partial \phi}{\partial z} + u_0(z) \frac{\partial \phi}{\partial x} + u_0''(z) \frac{\partial \psi}{\partial x} \right] - \sqrt{Ta} \frac{\partial v}{\partial z} = \Delta \phi - \frac{\partial \theta}{\partial x} \quad \Delta \psi + \phi = 0$$

$$\frac{\partial v}{\partial t} + Gr \left[-\frac{\partial \psi}{\partial z} \frac{\partial v}{\partial x} + \frac{\partial \psi}{\partial x} \frac{\partial v}{\partial z} + u_0(z) \frac{\partial v}{\partial x} + v_0'(z) \frac{\partial \psi}{\partial x} \right] - \sqrt{Ta} \frac{\partial \psi}{\partial x} = \Delta v \quad (3.1)$$

$$\frac{\partial \theta}{\partial t} + Gr \left[-\frac{\partial \psi}{\partial z} \frac{\partial \theta}{\partial x} + \frac{\partial \psi}{\partial x} \frac{\partial \theta}{\partial z} + u_0(z) \frac{\partial \theta}{\partial x} - \frac{\partial \psi}{\partial z} + Ra \theta_0'(z) \frac{\partial \psi}{\partial x} \right] = \frac{1}{Pr} \Delta \theta$$

$$z = -1 : \frac{\partial \psi}{\partial z} = 0, \quad \psi = 0, \quad \frac{\partial \theta}{\partial z} = 0 \quad (3.2)$$

$$z = 1 : \frac{\partial \psi}{\partial z} = 0, \quad \psi = 0, \quad \theta = 0 \quad (3.3)$$

$$\psi(t, 0, z) = \psi(t, L, z), \quad \phi(t, 0, z) = \phi(t, L, z), \quad v(t, 0, z) = v(t, L, z), \quad \theta(t, 0, z) = \theta(t, L, z) \quad (3.4)$$

где L – длина волны возмущений, оператор Лапласа $\Delta = \partial^2/\partial x^2 + \partial^2/\partial z^2$, $\psi(t, x, z)$, $\phi(t, x, z)$, $v(t, x, z)$, $\theta(t, x, z)$ – конечно-амплитудные возмущения функции тока, вихря скорости, второй компоненты скорости и температуры.

Нелинейная двумерная задача (3.1)–(3.4) решалась численно методом сеток [18]. В рамках двухполюсного метода [19] использовалась явная конечно-разностная схема. Уравнение Пуассона для функции тока решалось методом последовательной верхней релаксации. Основные расчеты проводились на сетке 101×200 .

Функции тока и вихря скорости описывают проекцию движения конечно-амплитудных возмущений на плоскость xOz . Вторая y -я компонента скорости описывает проекцию движения конечно-амплитудных возмущений на плоскость yOz или xOy . Положительное значение возмущения скорости $v(t, x, z)$ описывает движение вглубь, а отрицательное – движение в противоположном направлении, перпендикулярное плоскости xOz .

Расчеты показали, что при всех рассматриваемых значениях числа Тейлора возмущения представляют собой систему бегущих винтообразных вихрей, возникающих в областях с неустойчивой температурной стратификацией. Однако для разных мод картина конечно-амплитудных возмущений имеет некоторые отличия.

На рис. 4а,б,в представлены изотермы конечно-амплитудных возмущений температуры $\theta(t, x, z)$, изолинии возмущений функции тока $\psi(t, x, z)$ и скорости $v(t, x, z)$ при $Ta = 10$ для числа Грасгофа $Gr = 10000$ выше критического. Поперек слоя возникают движущиеся вдоль слоя чередующиеся холодные и теплые пятна. Проекция движения, описанная функцией возмущения функции тока вблизи порога устойчивости, представляет собой две цепочки вращающихся, соответственно, против и по часовой стрелке вихрей, локализованных в верхней и нижней половине слоя и движущихся в противоположных направлениях вдоль слоя. Одновременно y -я компонента возмущения скорости описывает в центре слоя вращение против и по часовой стрелке попарно движущихся вдоль оси Ox вихрей в плоскости xOy .

При $Ta = 500$ и $Gr = 20000$ (рис. 5а–5с) чередующиеся тепловые пятна, движущиеся вдоль оси абсцисс, локализуются в нижней половине слоя и имеют форму, близкую к полуокружности. Проекция движения адвективного течения на плоскость xOz , описанная $\psi(t, x, z)$, представляет собой последовательность вращающихся поперек слоя против и по часовой стрелке вихрей и движущихся вдоль него. Одновременно y -я компонента возмущения скорости описывает в центре слоя вращение против и по часовой стрелке попарно движущихся вдоль оси Ox вихрей в плоскости xOy .

При $Ta = 1000$ и $Gr = 4000$ (рис. 4г,д,е) две цепочки движущихся вдоль слоя чередующихся теплых и холодных пятен находятся вблизи границ слоя. Причем в силу теплоизоляции нижней границы вращающегося слоя жидкости нижние тепловые пятна имеют форму, близкую к полуокружности. Проекция, описанная функцией тока, представляет собой последовательность движущихся вдоль и вращающихся поперек слоя пары вихрей. Одновременно $v(t, x, z)$ описывает вращение против и по часовой стрелке последовательности движущихся вдоль оси Ox вихрей в

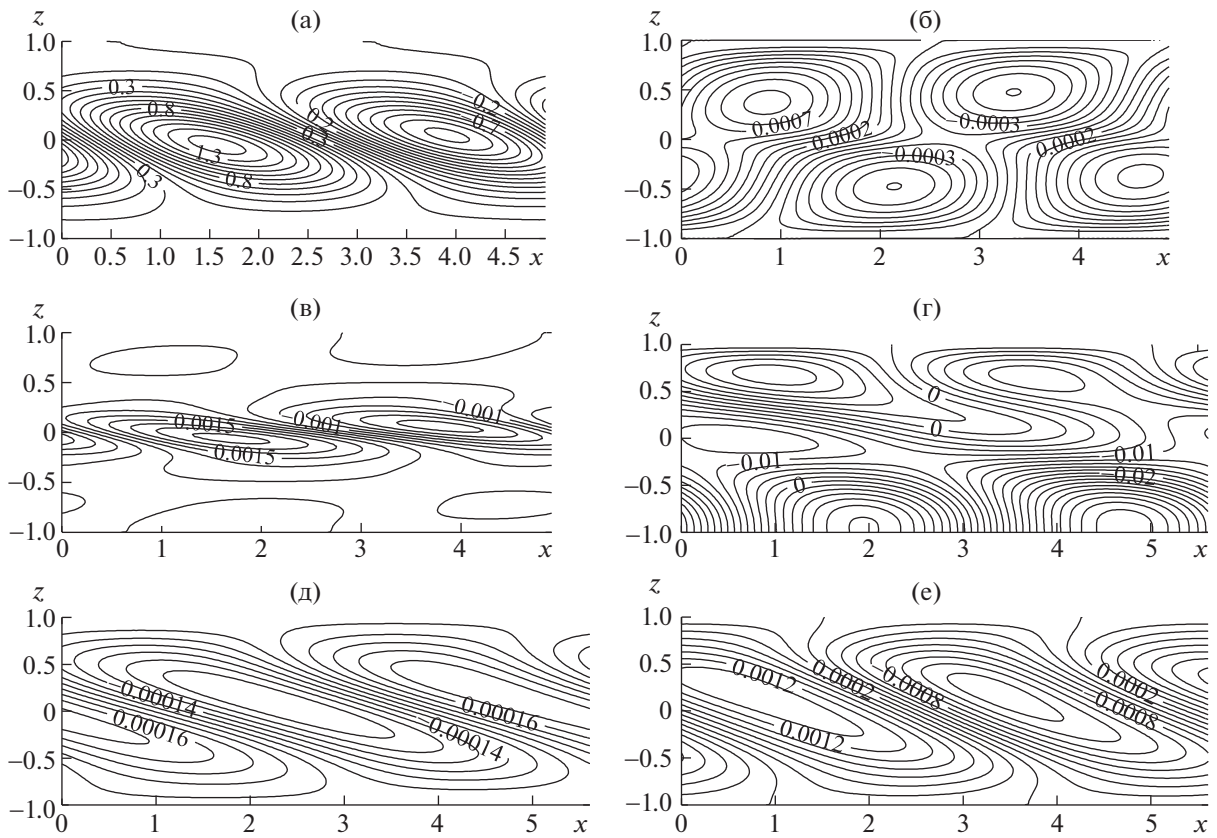


Рис. 4. Изолинии конечно-амплитудных возмущений температуры $\theta(t, x, z)$ (а, г), функции тока $\Psi(t, x, z)$ (б, д) и второй компоненты скорости $v(t, x, z)$ (в, е); $Ta = 10, Gr = 10000, k_x = 1.28$ (а–в); $Ta = 1000, Gr = 4000, k_x = 1.12$ (г–е).

плоскости xOy . При $Ta = 10^5$ и $Gr = 70000$ (рис. 5г–5е) структура конечно-амплитудных возмущений аналогична предыдущему случаю. Однако вторая компонента скорости описывает вихревое движение жидкости под углом к плоскости xOy .

Случай спиральных возмущений. Для пространственных периодических по y возмущений система имеет вид

$$\frac{\partial \Phi}{\partial t} + Gr \left[-\frac{\partial \Psi}{\partial z} \frac{\partial \Phi}{\partial y} + \frac{\partial \Psi}{\partial y} \frac{\partial \Phi}{\partial z} + v_0(z) \frac{\partial \Phi}{\partial y} + v_0''(z) \frac{\partial \Psi}{\partial y} \right] - \sqrt{Ta} \frac{\partial u}{\partial z} = \Delta \Phi - \frac{\partial \theta}{\partial y}$$

$$\Delta \Psi + \Phi = 0 \tag{3.5}$$

$$\frac{\partial U}{\partial t} + Gr \left[-\frac{\partial \Psi}{\partial z} \frac{\partial U}{\partial y} + \frac{\partial \Psi}{\partial y} \frac{\partial U}{\partial z} + v_0(z) \frac{\partial U}{\partial y} + u_0'(z) \frac{\partial \Psi}{\partial y} \right] + \sqrt{Ta} \frac{\partial \Psi}{\partial z} = \Delta U$$

$$\frac{\partial \theta}{\partial t} + Gr \left[-\frac{\partial \Psi}{\partial z} \frac{\partial \theta}{\partial y} + \frac{\partial \Psi}{\partial y} \frac{\partial \theta}{\partial z} + v_0(z) \frac{\partial \theta}{\partial y} + u + Ra\theta_0'(z) \frac{\partial \Psi}{\partial y} \right] = \frac{1}{Pr} \Delta \theta$$

$$z = -1: \frac{\partial \Psi}{\partial z} = 0, \quad \Psi = 0, \quad U = 0, \quad \frac{\partial \theta}{\partial z} = 0 \tag{3.6}$$

$$z = 1: \frac{\partial \Psi}{\partial z} = 0, \quad \Psi = 0, \quad U = 0, \quad \theta = 0 \tag{3.7}$$

$$\Psi(t, 0, z) = \Psi(t, L, z), \Phi(t, 0, z) = \Phi(t, L, z), \quad U(t, 0, z) = U(t, L, z), \quad \theta(t, 0, z) = \theta(t, L, z) \tag{3.8}$$

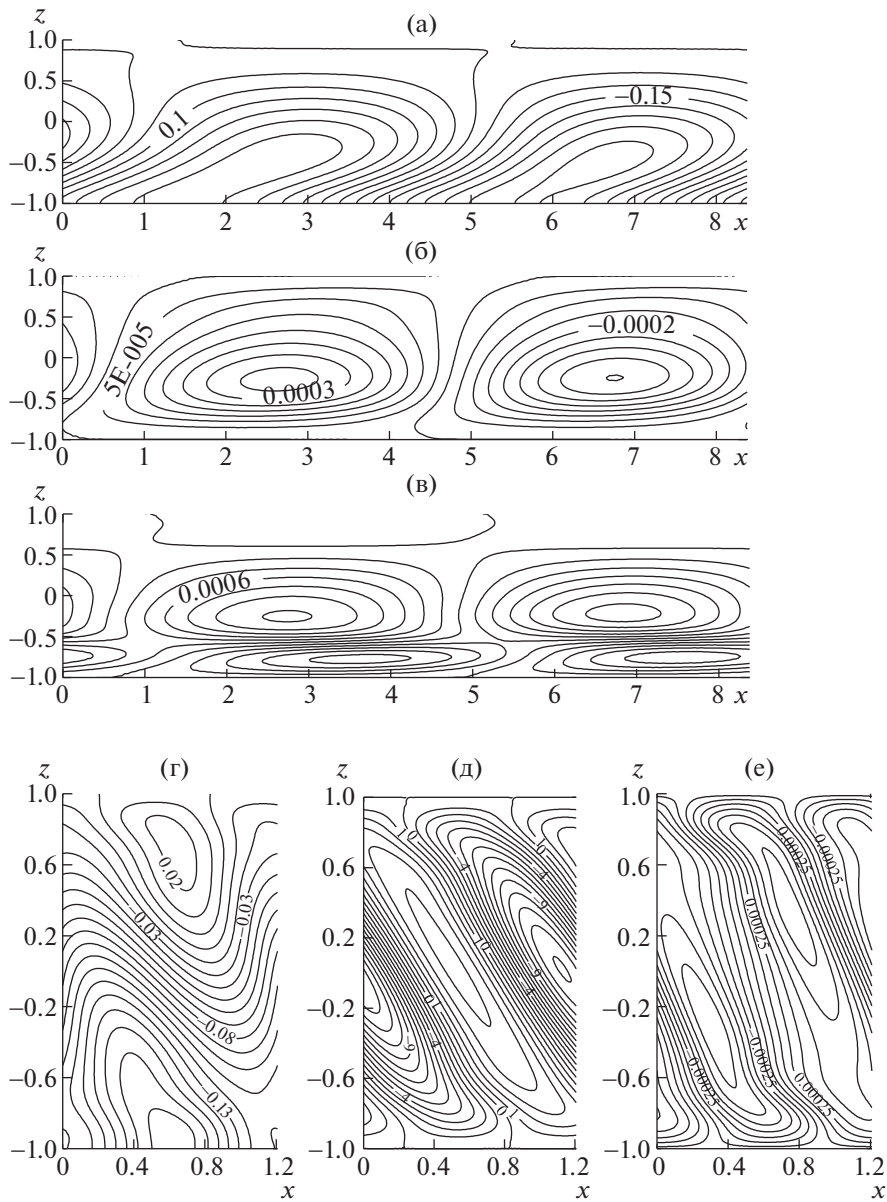


Рис. 5. Изолинии конечно-амплитудных возмущений $\theta(t, x, z)$ (а, г) и функции тока $\psi(t, x, z)$ (б) и $\psi(t, x, z) \times 10^5$ (д), второй компоненты скорости $v(t, x, z)$ (в, е): $Ta = 500$, $Gr = 20\,000$, $k_x = 0.75$ (а–в); $Ta = 10^5$, $Gr = 70\,000$, $k_x = 5.2$ (г–е).

где оператор Лапласа $\Delta = \partial^2/\partial y^2 + \partial^2/\partial z^2$. Имеются все три компоненты возмущений скорости, которые зависят от времени t и двух пространственных координат y и z . $\Psi(t, y, z)$ – конечно-амплитудные возмущения функции тока, описывающие проекцию возмущений скорости на плоскость yOz , $U(t, y, z)$ – конечно-амплитудные возмущения первой компоненты скорости, описывающие проекцию возмущений скорости на плоскость xOz или xOy , $\Phi(t, y, z)$, $\theta(t, y, z)$ – конечно-амплитудные возмущения вихря скорости и температуры.

Нелинейная двумерная задача (3.5)–(3.8) решалась численно методом сеток, аналогично задаче (3.1)–(3.4). Основные расчеты проводились на сетке 101×200 . Расчеты показали, что аналогично случаю винтовых возмущений, при всех рассматриваемых значениях числа Тейлора в областях с неустойчивой температурной стратификацией возникает система разнообразных бе-

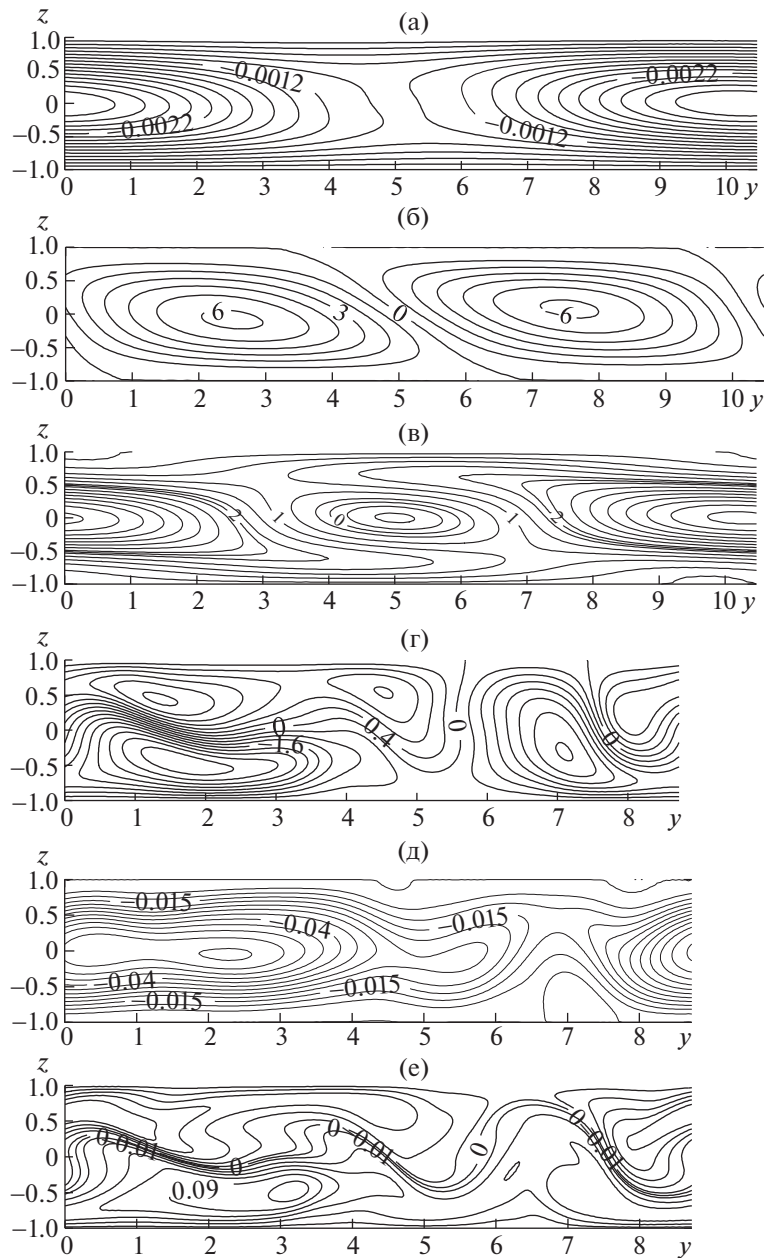


Рис. 6. Изолинии конечно-амплитудных возмущений температуры $\theta(t, y, z)$ (а–г), функции тока $\Psi(t, y, z) \times 10^6$ (б) и $\Psi(t, y, z)$ (д), первой компоненты скорости $U(t, y, z) \times 10^5$ (в) и $U(t, y, z)$ (е): $Ta = 10$, $Gr = 2000$, $k_y = 0.6$ (а–в); $Ta = 1000$, $Gr = 2500$, $k_y = 0.72$ (г–е).

гущих винтообразных вихрей. Для разных мод картина конечно-амплитудных возмущений имеет некоторые отличия.

На рис. ба,б,в представлены изотермы возмущений температуры $\theta(t, y, z)$, изолинии возмущений функции тока $\Psi(t, y, z)$ и компоненты скорости $U(t, y, z)$ при $Ta = 10$ для числа Грасгофа $Gr = 2000$ выше критического. В середине вдоль слоя движется холодное пятно. Проекция движения, описанная функцией возмущения функции тока вблизи порога устойчивости, представляет собой цепочку вращающихся в разном направлении вихрей, занимающих весь слой, движущихся вдоль оси Oy . Одновременно x -я компонента возмущения скорости описывает в центре

слоя вращение против и по часовой стрелке попарно движущихся вдоль оси Oy вихрей в плоскости xOy .

Для второй моды в качестве примера, иллюстрирующего поведения конечно-амплитудных возмущений, рассматривается случай, близкий к наименее устойчивой ситуации при $Ta = 1000$ и $Gr = 2500$ (рис. 6г,д,е). Поперек слоя формируется теплое и холодное пятно сложной конфигурации, которые движутся вдоль слоя. Одновременно там образуется перемещающийся вихрь, который вращается против часовой стрелки. Отметим, что с ростом числа Тейлора конфигурация движения усложняется, поперек слоя образуется пара спиралевидных вихрей. Что касается изолиний возмущения первой компоненты скорости, то можно заметить, что они описывают вращение жидкости поперек слоя в плоскости xOz .

ЗАКЛЮЧЕНИЕ

Представленное новое точное решение уравнений Навье–Стокса, записанное в приближении Обербека–Буссинеска и описывающее адвективное течение несжимаемой жидкости во вращающемся горизонтальном слое с твердыми границами и условием теплоизоляции на нижней границе, меняет свой профиль с ростом числа Тейлора. С увеличением Ta течение перестраивается, что влияет на его устойчивость.

Под воздействием вращения обогащается картина устойчивости адвективного течения по сравнению с результатами работы [7], полученными при отсутствии вращения. В рамках линейной теории устойчивости показано, что на всем рассматриваемом диапазоне числа Тейлора для значений числа Грасгофа выше критического развивается колебательная неустойчивость. С ростом Ta последовательно меняются наиболее опасные колебательные моды. Винтовые возмущения дестабилизируют течение при $32.6 \leq Ta \leq 1300$, а спиральные возмущения делают течение менее устойчивым при $0 \leq Ta \leq 10$ и $400 \leq Ta \leq 923$. Спиральные возмущения являются более опасными, минимальное критическое число Грасгофа $Gr_k = 1163.9$ достигается при $Ta = 10$. При условии теплоизоляции на нижней границе слоя адвективное течение более устойчиво на нормальные возмущения, чем в случае, когда на нижней границе задано линейное распределение температуры [20].

Поведение конечно-амплитудных возмущений, возникающих в слое жидкости при значениях числа Грасгофа выше критического, исследовано конечно-разностным методом сеток на основе нелинейной задачи. За порогом устойчивости возникают нестационарные периодические конечно-амплитудные возмущения скорости и температуры в виде системы пространственных вихрей и температурных пятен.

СПИСОК ЛИТЕРАТУРЫ

1. Гершуни Г.З., Жуховицкий Е.М., Непомнящий А.А. Устойчивость конвективных течений. М.: Наука, 1989. 320 с.
2. Остроумов Г.А. Свободная конвекция в условиях внутренней задачи. М.: Гостехтеориздат, 1952. 286 с. [Ostroumov G.A. Free convection under the condition of the internal problem. NASA TM, 1958].
3. Андреев В.К. Решения Бириха уравнений конвекции и некоторые его обобщения. Препринт СО РАН. ИВМ. № 1–10. Красноярск, 2010.
4. Бирих Р.В. О термокапиллярной конвекции в горизонтальном слое жидкости // ПМТФ. 1966. № 3. С. 69–72. [Birikh R.V. Thermocapillary convection in a horizontal layer of liquid // Journal of Applied Mechanics and Technical Physics. May 1966. V. 7. Issue 3. P. 43–44].
5. Gershuni G.Z., Laure P., Myznikov V.M., Roux B., Zhukhovitsky E.M. On the stability of plane-parallel advective flows in long horizontal layers // Microgravity Q. 1992. V. 2. № 3. P. 141–151.
6. Андреев В.К., Бекежанова В.Б. Устойчивость неизотермических жидкостей (обзор) // ПМТФ. 2013. № 2. С. 3–20. [Andreev V.K., Bekezhanova V.B. Stability of Non-Isothermal Fluids (Review) // Journal of Applied Mechanics and Technical Physics. 2013. № 2. P. 171–184].
7. Hart J. A note on the stability of low-Prandtl-number Hadley circulations // J. Fluid Mech. 1983. V. 132. P. 271–281.
8. Аристов С.Н., Шварц К.Г. Вихревые течения адвективной природы во вращающемся слое жидкости. Перм. ун-т. Пермь, 2006. 155 с.
9. Чукулаев Д.Г., Шварц К.Г. Влияние вращения на устойчивость адвективного течения в горизонтальном слое жидкости с твердыми границами при малых числах Прандтля // Изв. РАН. МЖГ. 2015. № 2.

- C. 48–56 [*Chikulaev D.G. and Shvarts K.G.* Effect of Rotation on the Stability of Advective Flow in a Horizontal Liquid Layer with Solid Boundaries at Small Prandtl Numbers // *Fluid Dynamics*. 2015. V. 50. № 2. P. 215–222].
10. *Shvarts K.G., Boudlal A.* Effect of rotation on stability of advective flow in horizontal liquid layer with a free upper boundary // *Journal of Physics: Conference Series*. 2010. V. 216. № 1. 012005.
 11. *Han-Ming Li, Wan-Yuan Shi, Ermakov Michael K.* Thermocapillary flow instabilities of medium Prandtl number liquid in rotating annular pools // *International Journal of Thermal Sciences*. October 2017. V. 120. P. 233–243. <https://doi.org/10.1016/j.ijthermalsci.2017.06.016>
 12. *Cheng-Zhi, Zhu Lan Peng* The effect of rotation on the thermal-solutal capillary-buoyancy flow in a shallow annular pool with various capillary ratios // *International Journal of Thermal Sciences*. May 2020. V. 152. Article 119482. <https://doi.org/10.1016/j.ijheatmasstransfer.2020.119482>
 13. *Dong-Ming Mo, Sen Zhang, Li Zhang, Deng-Fang Ruan, You-Rong Li.* Effect of Heat Dissipation on Thermocapillary Convection of Low Prandtl Number Fluid in the Annular Pool Heated from Inner Cylinder // *Microgravity Science and Technology*. Published online: 29 April 2020. V. 32. P. 661–672. <https://doi.org/10.1007/s12217-020-09788-x>
 14. *C.Z. Zhu, J.J. Yu, Y.R. Li, L. Peng.* A numerical study on the thermal capillary-buoyancy convection of a binary mixture driven by rotation and surface-tension gradient in a shallow annular pool // *International Journal of Heat and Mass Transfer*. 2021. V. 171. P. 121035. <https://doi.org/10.1016/j.ijheatmasstransfer.2021.121035>
 15. *Гершуни Г.З., Жуховицкий Е.М.* Конвективная устойчивость несжимаемой жидкости. М.: Наука, 1972. 392 с.
 16. *Boussinesq J.* Theorie analytique de la chaleur. Т. 2. Paris, Gauthier-Villars, 1903. 625 p.
 17. *Демидович Б.П., Марон И.А., Шувалова Э.З.* Численные методы анализа. Приближение функций, дифференциальные и интегральные уравнения. СПб.: Изд-во “Лань”, 2008. 400 с.
 18. *Шварц К.Г.* Конечно-амплитудные пространственные возмущения адвективного течения во вращающемся горизонтальном слое жидкости // *Вычислительные технологии*. 2001. Т. 6. Спец. вып. Ч. 2. Тр. Междунар. конф. RДAMM-2001. С. 702–707.
 19. *Тарунин Е.Л.* Вычислительный эксперимент в задачах свободной конвекции. Иркутск: Изд-во Иркут. ун-та, 1990. 225 с.
 20. *Шварц К.Г.* Влияние вращения на устойчивость адвективного течения в горизонтальном слое жидкости при малом значении числа Прандтля // *Известия РАН. Механика жидкости и газа*. 2005. № 2. С. 29–38.